

ВЗАИМОДЕЙСТВИЕ ПОВЕРХНОСТНЫХ СОСТОЯНИЙ С УРОВНЯМИ РАЗМЕРНОГО КВАНТОВАНИЯ В ЭЛЕКТРИЧЕСКОМ ПОЛЕ

М. М. Брубель

Белорусский государственный университет, 220050, Минск, Беларусь
(Получена 26 октября 1992 г. Принята к печати 7 июня 1993 г.)

В работе исследуется влияние электрического поля на энергию E_R и резонансную ширину Г уровней квантовой ямы с поверхностными состояниями на краях. Расчеты приводятся в модели, учитывающей различие блоховских функций краев зон граничащих слоев. Зависимости E_R и Г от напряженности электрического поля S получены в результате точного численного решения уравнения Шредингера с комплексной энергией $E - E_R - i\Gamma/2$.

Экспериментальное обнаружение таммовских состояний оказалось возможным вследствие того, что существуют значительные различия между зависимостями энергий локализованного и нелокализованного состояний от напряженности электрического поля [1, 2]. Представляет интерес дальнейшее изучение такого рода различий. В настоящей работе исследуется поведение в электрическом поле состояний, возникающих в квантовой яме, граничные условия для которых учитывают различие блоховских функций краев зон контактирующих веществ.

1. Условия сшивания для огибающих функций

Будем решать задачу для случая одной зоны в приближении эффективной массы. Волновую функцию запишем в приближении огибающих функций в виде произведения быстро меняющейся блоховской функции края зоны $\delta(z)$ на огибающую $\Phi(z)$

$$\Psi(z) = \Phi(z) \delta(z). \quad (1)$$

Для того чтобы записать граничные условия для огибающих функций, позволяющие получить локализованные на границе состояния, естественно использовать условие непрерывности волновой функции $\Psi(z)$ и ее первой производной на границе двух слоев полупроводников А и В. Будем считать, что эффективная масса электрона одинакова во всех граничащих слоях ($m_A = m_B = m^*$)

$$\begin{aligned} \Phi_A(z) \delta_A(z) &= \Phi_B(z) \delta_B(z), \\ \Phi'_A(z) \delta_A(z) + \Phi_A(z) \delta'_A(z) &= \Phi'_B(z) \delta_B(z) + \Phi_B(z) \delta'_B(z). \end{aligned} \quad (2)$$

Отсюда

$$\frac{\Phi'_A(z)}{\Phi_A(z)} - \frac{\Phi'_B(z)}{\Phi_B(z)} = \frac{\delta'_B(z)}{\delta_B(z)} - \frac{\delta'_A(z)}{\delta_A(z)}. \quad (3)$$

В формулах (2), (3) и далее штрихами обозначены производные по z .
Введем обозначение

$$G = \frac{\delta_B'(z)}{\delta_B(z)} - \frac{\delta_A'(z)}{\delta_A(z)}. \quad (4)$$

Будем считать, что на поверхности изолированного контакта двух слоев A и B возникает локализованное состояние, и его энергия, отсчитываемая от более глубокого края зоны проводимости в глубь запрещенной зоны, составляет E_s . Высоту потенциального барьера обозначим через V . Тогда в нулевом электрическом поле для $E = E_s$, если слой A расположен слева, а слой B справа,

$$\Phi_A(z) = a \exp(k_A z), \quad \Phi_B(z) = b \exp(-k_B z), \quad (5)$$

и можно записать G как

$$G_{AB} = k_A + k_B, \quad (6)$$

где $k_B = (2m^*E_s/\hbar^2)^{1/2}$, $k_A = (2m^*(E_s + V)/\hbar^2)^{1/2}$.

Если же слой A расположен справа, а слой B слева, получаем

$$\Phi_A(z) = a \exp(-k_A z), \quad \Phi_B(z) = b \exp(k_B z), \quad (7)$$

$$G_{BA} = -k_A - k_B. \quad (8)$$

Выражения (6) и (8) связывают величину G , характеризующую различие блоховских функций краев зон контактирующих веществ, с величинами E_s и V .

Границные условия (3) были получены в [3, 4] с помощью другого подхода и исследовались в [5] для кейновского приближения. Рассмотренный здесь подход обсуждался в [6] с той лишь разницей, что мы для большей наглядности выразили G через E_s и V .

2. Точное решение уравнения Шредингера в электрическом поле для граничных условий, учитывающих различие блоховских функций краев зон контактирующих веществ.

Уравнение Шредингера для электрона в нашем случае имеет вид [3, 4]

$$-\frac{\hbar^2 d^2 \Phi(z)}{2m^* dz^2} - E - |e|Sz - V^* + \frac{\hbar^2}{2m^*} G_{AB} \delta \left(|z| - \frac{L}{2} \right) \Phi(z) = 0, \quad (9)$$

где m^* — эффективная масса, e — заряд электрона, S — напряженность электрического поля, в нашем случае $V^* = 0$ в слое B и $V^* = V$ в слое A (рис. 1), $\delta(z)$ — δ -функция Дирака.

Поскольку потенциальная энергия стремится к $-\infty$, когда z стремится к $-\infty$, в системе не существует действительно связанного состояния, и взамен решения уравнения Шредингера, конечного при z , стремящемся к $-\infty$, будем рассматривать уходящую волну [7, 8], что соответствует частице, покидающей яму путем туннелирования. В результате решения уравнения Шредингера мы получим набор комплексных величин, которые могут быть записаны в виде

$$E = E_R - \epsilon \Gamma / 2, \quad (10)$$

где Γ всегда положительно.

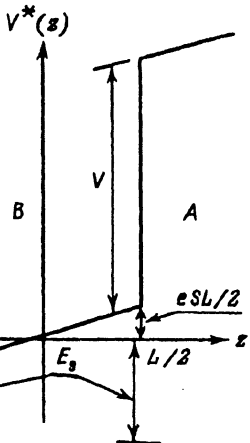


Рис. 1. Профиль потенциальной энергии $V^*(z)$ для квантовой ямыширины L и глубины V во внешнем электрическом поле напряженности S . E_s — энергия поверхностного состояния, возникающего на изолированном контакте слоев А и В при $S = 0$.

E_R представляет собой энергию квазистационарного уровня, Γ — резонансную ширину этого уровня. Время жизни в квазистационарном состоянии определяется как [2]

$$\tau = \hbar / \Gamma. \quad (11)$$

Решение уравнения (8) представляет собой линейную комбинацию двух независимых функций Эйри [9]

$$\Phi(z) = \begin{cases} a_1(Bi(Z) + iAi(Z)), & z < -L/2 \\ aAi(Z) + bBi(Z), & -L/2 < z < L/2 \\ a_2Ai(Z), & z > L/2 \end{cases}, \quad (12)$$

где

$$Z = - \left[\frac{2m^*}{(e\hbar S)^2} \right]^{1/3} (E - V^* - |e|Sz). \quad (13)$$

Используя условия сшивания (3), получаем систему двух уравнений, линейных относительно неизвестных a и b ,

$$\begin{aligned} a \left[Ai'_{BR} - \left(\frac{Ai'_{AR}}{Ai_{AR}} + K_R \right) Ai_{BR} \right] + b \left[Bi'_{BR} - \left(\frac{Bi'_{AR}}{Bi_{AR}} + K_R \right) Bi_{BR} \right] &= 0, \\ a \left[Ai'_{BL} - \left(\frac{Bi'_{AL} + Ai'_{AL}}{Bi_{AL} + Ai_{AL}} - K_L \right) Ai_{BL} \right] + b \left[Bi'_{BL} - \left(\frac{Bi'_{AL} + Ai'_{AL}}{Bi_{AL} + Ai_{AL}} - K_L \right) Bi_{BL} \right] &= 0, \end{aligned} \quad (14)$$

где $K_{R,L} = (2m^*/\hbar^2)^{1/2} (E_s + V + x_{R,L} |e| SL/2)^{1/2} + (E_s + x_{R,L} |e| SL/2)^{1/2}) / Z'$, $(x_R = 1, x_L = -1)$, $Ai_{AR} = Ai(z = L/2, V^* = V)$, $Ai_{AL} = Ai(z = -L/2, V^* = V)$, $Ai_{BR} = Ai(z = L/2, V^* = 0)$, $Ai_{BL} = Ai(z = -L/2, V^* = 0)$, для функций Bi нижние индексы имеют такой же смысл, как и для Ai.

Для того чтобы система (14) имела нетривиальное решение, необходимо, чтобы ее определитель был равен нулю

$$\begin{aligned} & \left[Ai'_{BR} - \left(\frac{Ai'_{AR}}{Ai_{AR}} + K_R \right) Ai_{BR} \right] \cdot \left[Bi'_{BL} - \left(\frac{Bi'_{AL} + Ai'_{AL}}{Bi_{AL} + Ai_{AL}} - K_L \right) Bi_{BL} \right] - \\ & - \left[Bi'_{BR} - \left(\frac{Ai'_{AR}}{Ai_{AR}} + K_R \right) Bi_{BR} \right] \cdot \left[Ai'_{BL} - \left(\frac{Bi'_{AL} + Ai'_{AL}}{Bi_{AL} + Ai_{AL}} - K_L \right) Ai_{BL} \right] = 0. \end{aligned} \quad (15)$$

Введем нормированные величины, которые избавят нас от необходимости рассматривать конкретные значения m^* , L , E_s и V . Для этого введем величину E_0 , определенную как

$$E_0 = \frac{\hbar^2}{2m} \left[\frac{\pi}{L} \right]^2. \quad (16)$$

Это, как известно, энергия первого уровня размерного квантования бесконечно глубокой ямы шириной L . Определим следующие нормированные величины:

$$\tilde{V} = \frac{V}{E_0}, \quad \tilde{E}_s = \frac{E_s}{E_0}, \quad \tilde{E} = \frac{E}{E_0}, \quad \tilde{S} = \frac{eSL}{E_0}, \quad (17)$$

тогда значения Z на границах ямы могут быть выражены через нормированные величины следующим образом:

$$Z = - \left(\frac{\pi}{\tilde{S}} \right)^{2/3} (\tilde{E} + \tilde{V}^* \pm 0.5\tilde{S}) \Big|_{z=\mp L/2}. \quad (18)$$

Величины K_R и K_L выражаются как

$$K_{R,L} = \left(\frac{\Pi}{\tilde{S}} \right)^{1/3} \left[\left(\tilde{E}_s + \tilde{V} + x_{R,L} \frac{\tilde{S}}{2} \right)^{1/2} + \left(\tilde{E}_s + x_{R,L} \frac{\tilde{S}}{2} \right)^{1/2} \right]. \quad (19)$$

Некоторые результаты численного решения (14) приведены на рис. 2—5. Функции Эйри для комплексной переменной Z вычислялись с достаточной степенью точности с помощью рядов и асимптотических приближений [9].

3. Особенности влияния электрического поля на значения энергии и резонансной ширины уровней квантовых ям с граничными условиями, учитывающими существование поверхностных состояний

Обратимся к зависимостям, приведенным на рис. 2, 4. Для достаточно больших значений \tilde{E}_s на зависимости $\tilde{E}_R(\tilde{S})$ можно последить выполнение обычного (при взаимодействии локализованного состояния с другими в электрическом поле) правила непересечения уровней, когда второй уровень выталкивает третий с ростом S , как бы занимая его место. При дальнейшем увеличении S то же происходит с третьим и четвертым уровнями (если яма достаточно глубока) и так далее [1, 2, 10]. Такая картина объясняется следующим образом. Энергия дна ямы в точках $\mp L/2$ меняется в поле напряженности S на $|eSL/2|$ относительно выбранного нами начала отсчета — центра ямы, что приводит к изменению энергии локализованных в окрестности этих точек состояний. Но изменение энергии поверхностного состояния относительно центра ямы всегда меньше $|eSL/2|$, так как существует эффект, связанный с изменением формы ямы в электрическом поле, понижающий энергию поверхностного состояния у края ямы, где барьер составляет острый угол с дном ямы, и повышающий у края ямы, где барьер составляет острый угол с дном ямы относительно соответствующих краев ямы (рис. 2, 3).

Энергия поверхностного состояния, обозначенного цифрой 2 (в случае $S > 0$ — правого), увеличивается относительно центра ямы и наконец приближа-

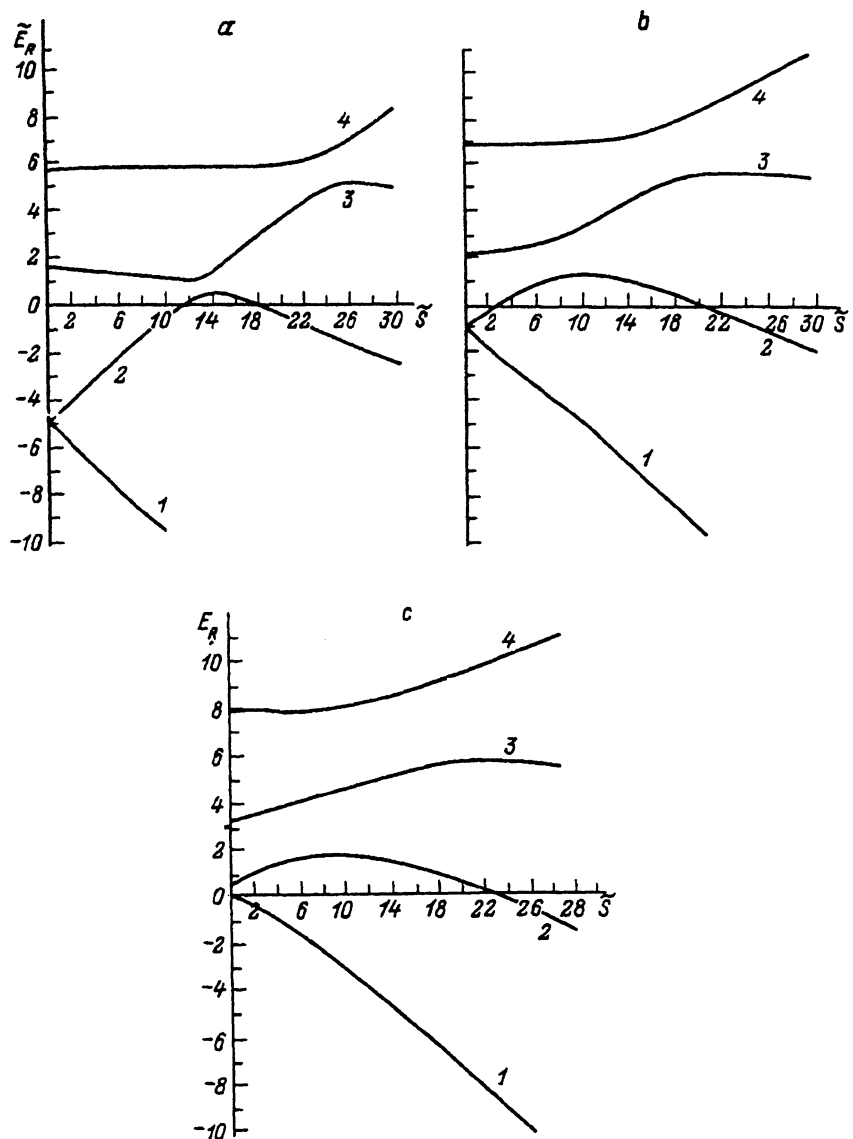


Рис. 2. Действительная часть нормированной энергии \tilde{E}_R для $V = 25$ как функция нормированной напряженности электрического поля \tilde{S} , \tilde{E}_s : $a - 5$, $b - 1$, $c - 0.01$. Цифрами 1—4 обозначены разные энергетические состояния.

ется к энергии одного из уровней размерного квантования — 3. С дальнейшим увеличением напряженности электрического поля сблизившиеся уровни энергии начинают удаляться друг от друга, но при этом 2 ведет себя как квантово-размерный уровень, а 3 — как уровень, локализованный на правой поверхности. Такие переходы хорошо заметны для случаев с достаточно большим \tilde{E}_s (рис. 2, a; рис. 3, a, b). Непересечение уровней — результат того, что состояния смешиваются вблизи вырождения [10]. Значения \tilde{S} , при которых $|\tilde{E}_I - \tilde{E}_J|$

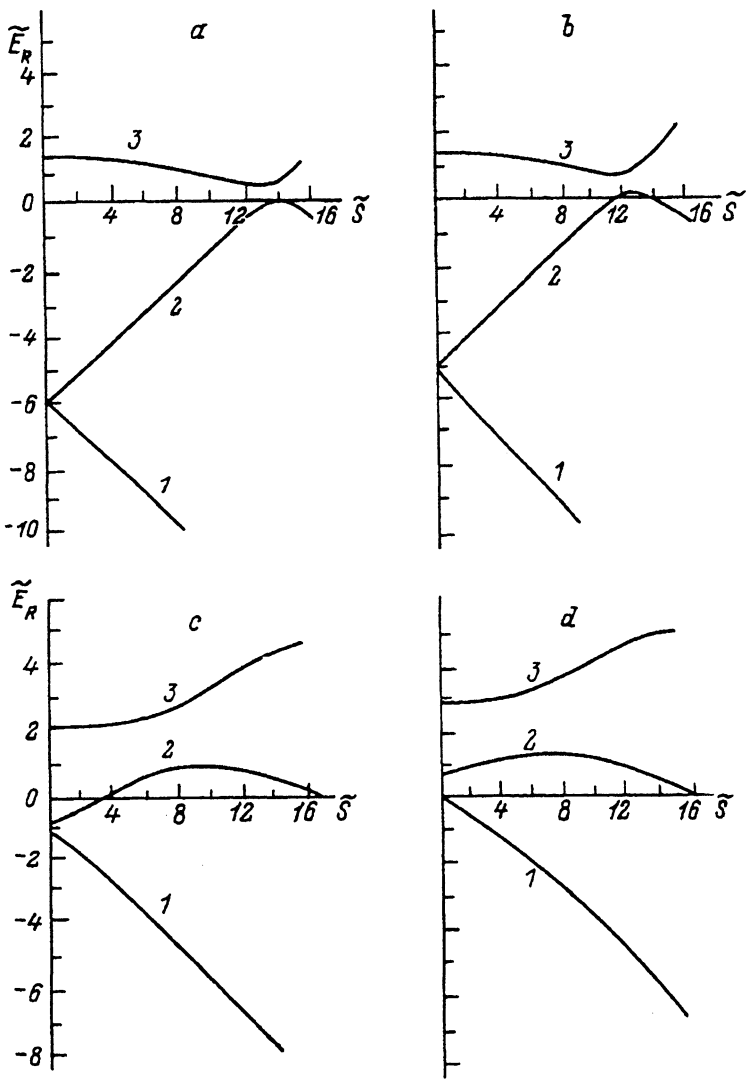


Рис. 3. Логарифм нормированной резонансной ширины $\tilde{\Gamma}$ для $\tilde{V} = 25$ как функция нормированной напряженности электрического поля \tilde{S} , \tilde{E}_s : $a - 5$, $b - 1$, $c - 0.01$.
Цифры 1–4 обозначают то же, что и на рис. 2.

минимально, где I и J – номера соответствующих уровней (уровни пронумерованы в порядке возрастания энергии), обозначены \tilde{S}_{IJ} .

Зависимость $\tilde{\Gamma}(\tilde{S})$ также имеет свои особенности в окрестности точек \tilde{S}_{IJ} . Как видно, на рис. 2, a $\tilde{\Gamma}_3$ становятся больше $\tilde{\Gamma}_4$ на участке после \tilde{S}_{34} , т. е. уровень с более высокой энергией E_4 характеризуется большим временем жизни $\tau_4 = \hbar/\Gamma_4$, чем уровень с более низкой энергией E_3 . И в этом нет ничего странного, так как на этом участке уровень 4 описывает локализованное поверхностное состояние, а уровень 3 – квантоворазмерный уровень. На рис. 5, a , b , c зависимости $\tilde{\Gamma}_2(\tilde{S})$ и $\tilde{\Gamma}_3(\tilde{S})$ ведут себя подобным же образом, но в добавок к этому $\tilde{\Gamma}_3(\tilde{S})$ имеет сразу после \tilde{S}_{23} участок, на котором $\tilde{\Gamma}_3$

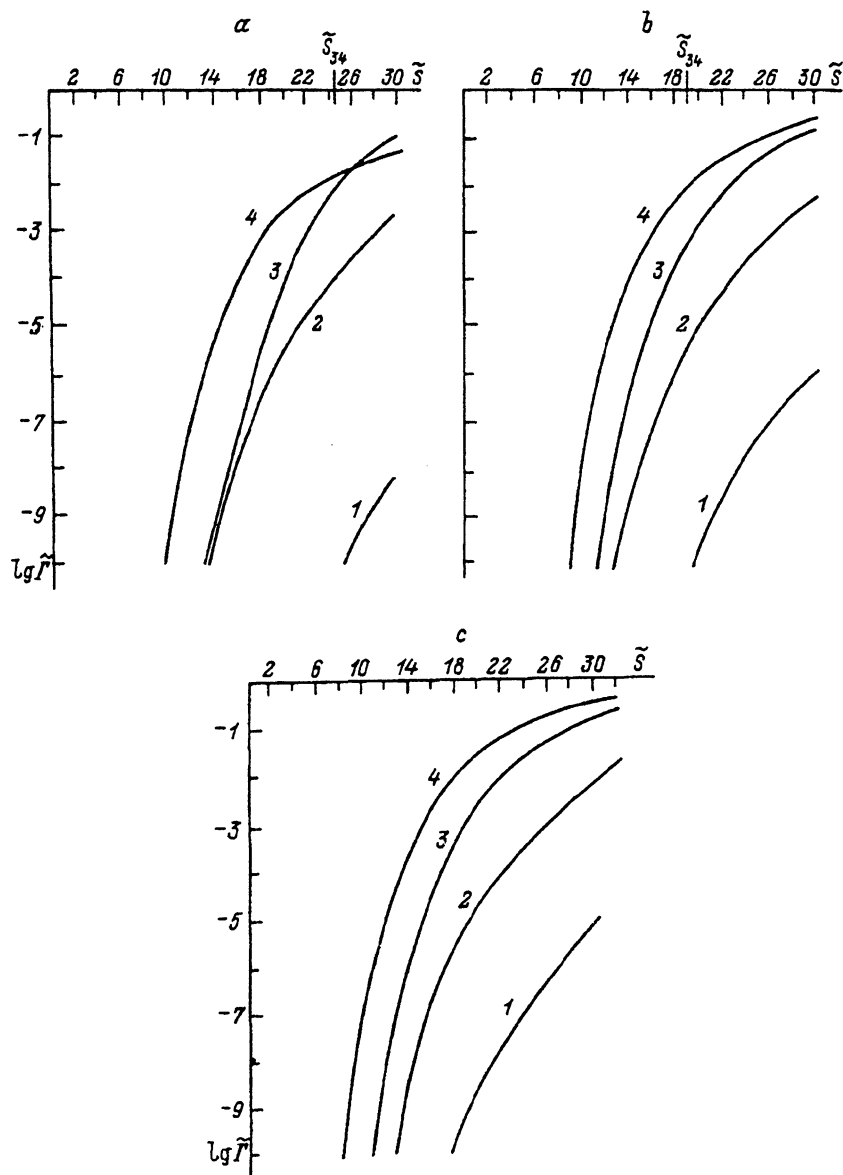


Рис. 4. Действительная часть нормированной энергии \tilde{E}_R для $V = 5$ как функция нормированной напряженности электрического поля \tilde{S} , \tilde{E}_S : $a - 6$, $b - 5$, $c - 1$, $d - 0.01$. Цифры 1—4 обозначают то же, что и на рис. 2.

уменьшается с ростом Σ , и, следовательно, τ_3 на этом участке растет с ростом S — очень необычная зависимость, которую также можно объяснить смешиванием состояний в окрестности \tilde{S}_{23} . Отметим, что \tilde{E}_2 и \tilde{E}_3 при $\tilde{S} = \tilde{S}_{23}$ находятся либо над ямой, либо у самого верха ямы для всех рис. 3, 5.

В отличие от зависимостей $\tilde{E}_R(\tilde{S})$ зависимости $\tilde{\Gamma}(\tilde{S})$ для систем, содержащих локализованные и делокализованные состояния, по-видимому, раньше не анализировались, и автор не располагает данными для сравнения с полученными результатами.

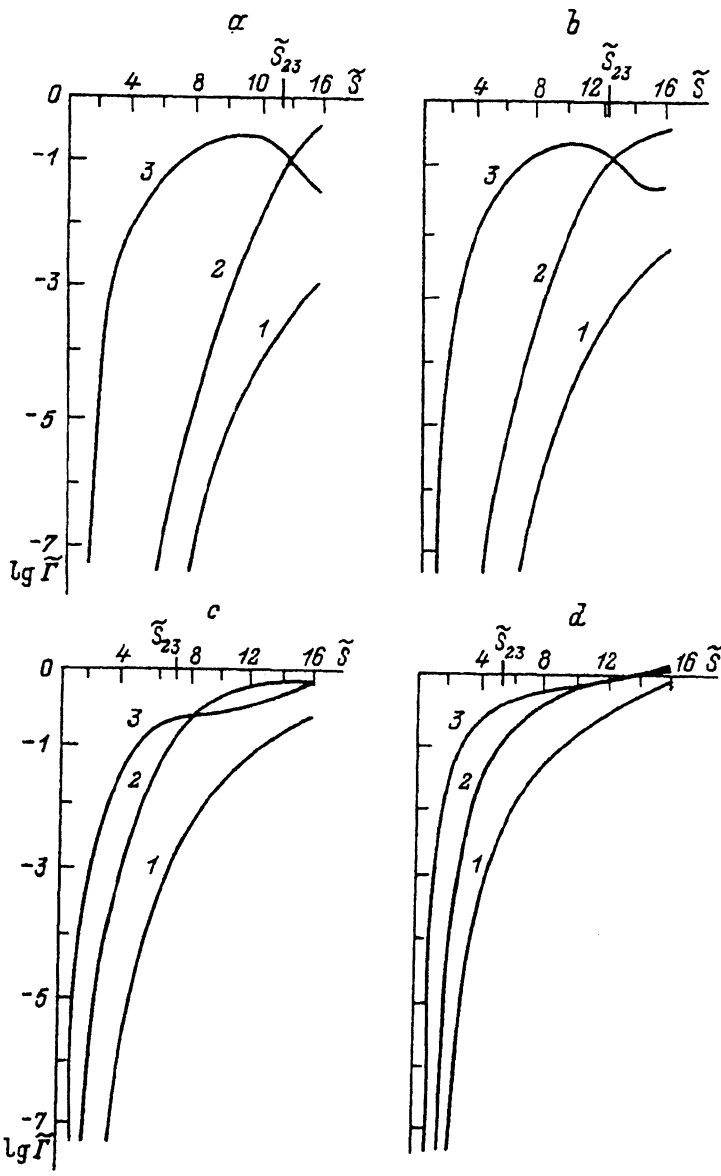


Рис. 5. Логарифм нормированной резонансной ширины $\tilde{\Gamma}$ для $\tilde{V} = 5$ как функция нормированной напряженности электрического поля \tilde{S} , \tilde{E}_s : $a - 6$, $b - 5$, $c - 1$, $d - 0.01$.
Цифры 1—4 обозначают то же, что и на рис. 2.

При малых значениях \tilde{E}_s (мелкий уровень либо узкая яма) различия в поведении в электрическом поле поверхностных и квантоворазмерных состояний не столь заметны (рис. 2, с; 3, с; 4, д; 5, д).

Рассмотренные примеры свидетельствуют о том, что присутствие в яме таммовских состояний, возникающих на границе слоев с различными блокховскими функциями краев зон, вносит новые черты в зависимости от напряженности электрического поля энергетического спектра ямы и времени жизни электрона на различных уровнях.

СПИСОК ЛИТЕРАТУРЫ

- [1] H. Ohno, E. E. Mendez, J. A. Brum, J. M. Hong, F. Agullo-Rueda, L. L. Chang, L. Esaki. Phys. Rev. Lett., **64**, 2555 (1990).
- [2] F. Agullo-Rueda, E. E. Mendez, H. Ohno, J. M. Hong, Phys. Rev. B, **42**, 1470 (1990).
- [3] H. Kromer, Oi-Gao Zhu. J. Vac. Sci. Techn., **21**, 551 (1982).
- [4] Qi-Gao Zhu, H. Kroemer. Phys. Rev. B, **27**, 3519 (1983).
- [5] В. Д. Шадрин. ФТП, **24**, 456 (1990).
- [6] С. Г. Тиходеев. ЖЭТФ, **99**, 1871 (1991).
- [7] D. Ahn, S. L. Chuhg. Phys. Rev. B, **34**, 9034 (1986).
- [8] Д. Л. Ландау, Е. М. Лифшиц. Квантовая механика (нерелятивистская теория). М. (1989).
- [9] Справочник по специальным функциям под редакцией М. Абрамовица, И. А. Стигугна. М. (1979).
- [10] D. S. Hutching. Appl. Phys. lett., **55**, 1082 (1989).

Редактор Т. А. Полянская
